

УДК 548.537.611.44

**РАЗОГРЕВ МАГНОНОВ  
СИЛЬНЫМ ЭЛЕКТРИЧЕСКИМ ПОЛЕМ  
В ФЕРРОМАГНИТНЫХ ПОЛУПРОВОДНИКАХ**

Г. М. Генкин, Н. Г. Голубева, И. Д. Токман

Теоретически исследован разогрев магнонов в ферромагнитных полупроводниках в сильных электрических полях, когда функция распределения носителей существенно определяется сильным неупругим рассеянием горячих носителей на оптических фонарах. Рассмотрена область полей, промежуточная между слабым полем (приближение эффективной температуры) и очень сильным, когда функция распределения резко анизотропна. Показано, что имеет место сильный разогрев магнонов, при этом температура магнонов определяется в основном энергией оптического фонара.

В ряде экспериментальных работ [1-3] исследовались магнитные полупроводники  $\text{EuO}$ ,  $\text{CdCr}_2\text{Se}_4$ ,  $\text{HgCr}_2\text{Se}_4$  в сильных электрических полях. Теоретически разогрев магнонов в широкозонных ферромагнитных полупроводниках рассмотрен в [4], при этом электроны описывались в приближении электронной температуры. Однако в полупроводниках в сильных электрических полях при низких температурах  $T \ll \hbar\omega_0$ , где  $\omega_0$  — частота оптического фонара, функция распределения существенно определяется сильным неупругим рассеянием горячих носителей на оптических фонарах [5]. При этом в определенном диапазоне электрических полей электроны описываются функцией распределения  $f(p)$ , найденной в [6, 7]. Эта функция распределения описывает так называемый квазиомический участок, когда релаксация импульса горячих носителей обусловлена квазиупругими процессами рассеяния, а релаксация энергии — спонтанным излучением оптических фонаров. Это распределение реализуется [6, 7] в диапазоне полей

$$(\nu_e/\nu_p) \hbar\omega_0 < e^2 E^2 (m\nu_p^2) < \hbar\omega_0, \quad (1)$$

где  $\nu_e$  и  $\nu_p$  — частоты релаксации энергии и импульса носителей соответственно в области энергий  $\varepsilon < \hbar\omega_0$  («пассивная» область).

По диапазону полей эта область является промежуточной между областью слабого поля (приближение эффективной температуры) и областью очень сильных полей, когда функция распределения резко анизотропна (стриминг) [5]. Заметим, что по грубым оценкам диапазон полей, удовлетворяющих условию (1), для магнитного полупроводника  $\text{HgCr}_2\text{Se}_4$  соответствует интервалу  $3 \text{ кВ/см} < E < 30 \text{ кВ/см}$ , при этом полагаем, что  $\nu_e \sim 10^{-2} \nu_p$ ,  $\nu_p = e/m\mu \sim 10^{13} \text{ с}^{-1}$  при  $\mu \sim 300 \text{ см}^2/\text{В с}$ ,  $m \sim 0.3 m_0$ . Заметим также, что рассматриваемый квазиомический участок получен в [6, 7] в условиях, когда частота межэлектронных соударений  $\nu_{ee}$  меньше частоты спонтанного излучения оптического фонара  $\nu_{opt}$  и частоты релаксации импульса  $\nu_p$ ; тем самым имеется ограничение на концентрацию носителей  $n$  сверху. По оценкам, для  $\text{HgCr}_2\text{Se}_4$   $\nu_{opt} \sim 5 \cdot 10^{13} \text{ с}^{-1}$ ,  $\nu_p \sim 10^{13} \text{ с}^{-1}$ , тогда как для  $n \sim 10^{17} \text{ см}^{-3}$   $\nu_{ee} \sim 10^{12} \text{ с}^{-1}$ .

Рассмотрим разогрев магнонов сильным электрическим полем в диапазоне полей, удовлетворяющих условию (1). Для магнитной функции распределения  $N_q$  считаем, что наиболее существенными, определяющими

бозевский вид функции  $N_q$  (с температурой  $T_m$  и равным нулю химпотенциалом) являются обменные магнон-магнонные, обменные магнон-фононные и релятивистские трехмагнонные процессы. Основной вклад в интеграл электрон-магнонных столкновений дают двухмагнонные процессы, сохраняющие число магнонов [4, 8]. Температура  $T_m$  магнонов находится из энергетического баланса: мощность, передаваемая электронами магнонам  $P_{\text{эм}}$ , равна мощности, передаваемой магнонами фононам  $P_{\text{мф}}$ . По [4]

$$P_{\text{эм}} = \frac{\Omega^3}{2(2\pi)^3 \hbar^{10}} \int \int \int I^2(\mathbf{q}_1) (\hbar\omega_{\mathbf{q}+\mathbf{q}_1} - \hbar\omega_{\mathbf{q}_1}) \delta(\epsilon_p - \epsilon_{p-q} + \hbar\omega_q - \hbar\omega_{\mathbf{q}+\mathbf{q}_1}) \times \\ \times [f(p-q) N_{\mathbf{q}+\mathbf{q}_1}(N_{\mathbf{q}_1} + 1) - f(p) N_{\mathbf{q}_1}(N_{\mathbf{q}+\mathbf{q}_1} + 1)] d\mathbf{q}_1 d\mathbf{q} dp, \quad (2)$$

где  $\Omega$  — объем элементарной ячейки кристалла; полагаем, что спектр электронов квадратичный и изотропный  $\epsilon_p = p^2/2m$ ,  $\hbar\omega_q = q^2/2M$  — энергия магнонов с импульсом  $q$ ,  $M$  — эффективная масса магнона,  $M^{-1} = \Theta_c \hbar^{-2} a$ ,  $a$  — постоянная решетки,  $\Theta_c$  — температура Кюри,

$$I(q_1) = I_{s-d} q_1^2 (q_1^2 + 4mS I_{s-d})^{-1}, \quad (3)$$

$S$  — спин узла решетки,  $I_{s-d}$  — константа  $s-d$ -обмена. Так как энергия электрона мала по сравнению с  $SI_{s-d}$ , то будем учитывать лишь электроны нижней подзоны проводимости. Столкновения электронов с магнонами являются квазиупругими [4], и подынтегральное выражение в (2) раскладываем в ряд по малому параметру (отношению переданной магнонам энергии при столкновении с электроном  $\Delta\epsilon$  к температуре  $T_m$ ), ограничиваясь линейным приближением. После проведения необходимых вычислений получаем при  $T_m \ll 2(m/M) SI_{s-d}$

$$P_{\text{эм}} = \frac{9\Gamma(9/2)\zeta(9/2)}{2^{1/2}\pi^2 S^2} \left( \frac{\Theta_c}{E_0} \right)^{1/2} \left( \frac{T_m}{\hbar} \right)^3 \left( \frac{T_m}{\hbar} \right) (T_m^{1/2} \langle \epsilon^{-1/2} \rangle) \left[ \frac{\langle \epsilon^{1/2} \rangle}{\langle \epsilon^{-1/2} \rangle} - T_m \right] n\Omega, \quad (4)$$

где  $\epsilon$  — энергия электрона, и средние значения  $\langle \epsilon^{1/2} \rangle$ ,  $\langle \epsilon^{-1/2} \rangle$  определяются функцией распределения,  $E_0 = \pi^2 \hbar^2 / 2ma^2$  — эффективная «ширина» электронной зоны,  $n$  — концентрация электронов. При выводе (4) полагалось, что  $\langle \epsilon \rangle$  и  $T_m$  — величины одного порядка. В том случае, если функция распределения электронов описывается приближением эффективной температуры [4], формула (4) с точностью до численного множителя переходит в соответствующее выражение для мощности, передаваемой от электронов к магнонам, приведенное в [4].

Воспользуемся выражением для  $P_{\text{мф}}$ , приведенным в [4],

$$P_{\text{мф}} = \left( \frac{T}{\tau_{\text{мф}}^{\epsilon}} \right) \left( \frac{T}{\Theta_c} \right)^{3/2} \varphi \left( \frac{T_m}{T} \right), \quad (5)$$

$$\varphi(x) = \begin{cases} x - 1, & x - 1 \ll 1, \\ x^{1/2}, & x \gg 1, \end{cases}$$

$$\tau_{\text{мф}}^{\epsilon} \sim \frac{M_s v^2}{T} \left( \frac{\Theta_p}{T} \right)^3 \left( \frac{\Theta_c}{T} \right)^3 \left( \frac{\hbar}{T} \right),$$

$M_s$  — масса ячейки кристалла,  $v$  — скорость звука,  $\Theta_p$  — температура Дебая,  $T$  — температура решетки.

Приравнивая (4) и (5), получаем уравнение для определения  $T_m$ . Для сильного разогрева магнонов  $T_m/T \gg 1$  имеем следующее уравнение для определения  $T_m$

$$\frac{9\Gamma(9/2)\zeta(9/2)}{2^{1/2}\pi^2 S^2} n\Omega \left[ \frac{\langle \epsilon^{1/2} \rangle \langle \epsilon^{-1/2} \rangle^{-1}}{\hbar\omega_0} - \frac{T_m}{\hbar\omega_0} \right] \left( \frac{\hbar\omega_0}{E_0} \right) (\hbar\omega_0)^{1/2} \times \\ \times \langle \epsilon^{-1/2} \rangle = \left( \frac{T_m}{\hbar\omega_0} \right)^6 \left( \frac{\hbar\omega_0}{\Theta_p} \right)^3 \left( \frac{\hbar\omega_0}{\Theta_c} \right)^2 \left( \frac{\hbar\omega_0}{M_s v^2} \right). \quad (6)$$

Заметим, что функция распределения горячих носителей в диапазоне сильных полей, удовлетворяющих условию (1), найдена в работах [6, 7] для энергий носителей  $\epsilon$ , ограниченных снизу условием

$$\epsilon > \epsilon_1 = \left( \frac{2\hbar\omega_0 e E}{\rho_0 A p_0} \right)^{1/2},$$

где  $p_0 = (2m\hbar\omega_0)^{1/2}$ ,  $A$  — квадрат матричного элемента взаимодействия электрона с оптическим фоном,  $\rho_0 \epsilon^{1/2}$  — плотность числа состояний. Функция распределения электронов, находящихся в основном в «пассивной» области, определяется выражением [6, 7]

$$f(z) \simeq C \int_z^1 \frac{dz'}{(z')^{3/2} t(z')}.$$
 (7)

Здесь  $z = \epsilon/\hbar\omega_0$ ,  $t(z) = \tau(z)/\tau(\hbar\omega_0)$ ,  $\tau \equiv v^{-1}$ ,  $C$  — константа нормировки. Следуя [7], получим выражение для функции распределения электронов и для  $\epsilon < \epsilon_1$ , и в результате функция распределения имеет вид

$$f(z) = C \left\{ \int_z^{z_1} \frac{dz'}{(z_1)^{3/2} t(z')} + \int_{z_1}^1 \frac{dz'}{(z')^{3/2} t(z')} \right\},$$
 (8)

где  $z_1 = \epsilon_1/\hbar\omega_0$ .

Полагая, что релаксация электронов по импульсу в «пассивной» области энергии происходит за счет поляризационного рассеяния на акустических фононах

$$\tau(\epsilon) \sim \epsilon^{1/2}, \quad t(z) = z^{1/2},$$
 (9)

используя (7)–(9) и проведя нормировку, получим при  $z < z_1$

$$f(z) = \frac{n}{\rho_0 (\hbar\omega_0)^{3/2} (4/3 - z_1^{1/2})} [2z_1^{-3/2} (z_1^{1/2} - z^{1/2}) + z_1^{-1} - 1]$$
 (10)

при  $z > z_1$

$$f(z) = \frac{n}{\rho_0 (\hbar\omega_0)^{3/2} (4/3 - z_1^{1/2})} [z^{-1} - 1].$$
 (11)

Зная функцию распределения (10), (11), находим  $\langle \epsilon^{1/2} \rangle$  и  $\langle \epsilon^{-1/2} \rangle$ , фигурирующие в (6),

$$\left. \begin{aligned} \langle \epsilon^{1/2} \rangle &= (\hbar\omega_0)^{1/2} \frac{(1/2 - 3/10z_1)}{(4/3 - z_1^{1/2})}, \\ \langle \epsilon^{-1/2} \rangle &= (\hbar\omega_0)^{-1/2} \frac{(2/3 + \ln z_1^{-1})}{(4/3 - z_1^{1/2})}, \\ z_1 &= \left( \frac{\hbar\tilde{E}}{me\omega_0} \right)^{1/2}, \quad \tilde{E} = (\epsilon_\infty^{-1} - \epsilon_0^{-1})^{-1}. \end{aligned} \right\}$$
 (12)

В общем случае решение уравнения (6) в аналитическом виде не представляется возможным. Приведем ниже уравнение (6), записанное для параметров материала  $HgCr_2Se_4$ ,

$$(\hbar\omega_0)^{1/2} \langle \epsilon^{-1/2} \rangle \left[ \frac{\langle \epsilon^{1/2} \rangle \langle \epsilon^{-1/2} \rangle^{-1}}{\hbar\omega_0} - \frac{T_m}{\hbar\omega_0} \right] = 2 \cdot 10^4 \left( \frac{T_m}{\hbar\omega_0} \right)^6,$$
 (13)

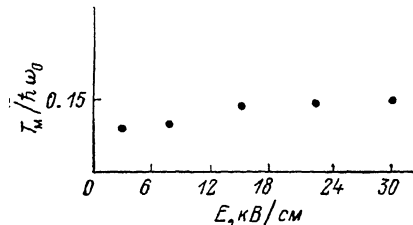
здесь мы положим  $M_e v^2 \sim 5 \cdot 10^{-11} \text{ CGS}$ ,  $\Theta_c \sim 1.4 \cdot 10^{-14} \text{ CGS}$ ,  $\Theta_b \sim 4 \times 10^{-14} \text{ CGS}$ ,  $\omega_0 \sim 3 \cdot 10^{13} \text{ c}^{-1}$ ,  $S = 3/2$ ,  $\Omega \sim 6 \cdot 10^{-23} \text{ см}^{-3}$ ,  $n \sim 10^{16} \text{ см}^{-3}$ .

Следует заметить, что для электрических полей, находящихся в рассматриваемом интервале изменения (1), значение  $z < 1$ . Тем самым зависимость средних  $\langle \epsilon^{1/2} \rangle$  и  $\langle \epsilon^{-1/2} \rangle$  от поля сравнительно слабая: так, для кристалла  $HgCr_2Se_4$  при изменении поля в рассматриваемом интервале от 3 до 30 кВ/см  $z_1$  в (12) меняется от 0.05 до 0.3, при этом положено

$m \sim 0.3m_0$ , [9]  $\varepsilon_0 \sim 25$ , [10]  $\varepsilon_0 \sim 10$ . Решение уравнения (13) на ЭВМ дает следующие результаты (см. рисунок).

Заметим, что при разогреве магнонов электронами в сильных электрических полях (в интервале полей (1)) температура магнонов достаточно

слабо зависит от электрического поля (для материала  $HgCr_2Se_4$  величина  $T_m$  составляет примерно  $0.15\hbar\omega_0$ ); по существу это обусловлено спецификой



Зависимость  $T_m / \hbar\omega_0$  от поля  $E$ .

функции распределения электронов в этом диапазоне полей. Дело в том, что, как следует из уравнения (6), зависимость температуры магнонов от поля определяется зависимостью средних от энергии электронов, а эти средние (см. (12) и [6, 7]) для распределений на квазиомическом участке определяются в основном лишь [6, 7] энергией оптического фона, а полевые добавки малы по сравнению с  $\hbar\omega_0$ .

В заключение отметим, что в рассматриваемом диапазоне полей при низких температурах разогрев магнонов электронами в ферромагнитных полупроводниках является сильным  $T_m/T \gg 1$ .

### Л и т е р а т у р а

- [1] Самохвалов А. А., Осипов В. В., Калинников В. Т., Аминов Т. Г. Письма в ЖЭТФ, 1978, т. 28, № 6, с. 413–416.
- [2] Самохвалов А. А., Осипов В. В., Исаев А. Т., Калинников В. Т., Аминов Т. Г. Письма в ЖЭТФ, 1979, т. 30, № 10, с. 658–681.
- [3] Гальдикас А. П., Матуценене И. Б., Самохвалов А. А., Осипов В. В. ФТТ, 1982, т. 24, № 6, с. 1645–1648.
- [4] Горенблит И. Я., Тонхилевич Б. Г. ФТТ, 1976, т. 18, № 1, с. 62–71.
- [5] Горячие электроны в полупроводниках: стриминг и анизотропные распределения в скрещенных полях. Сб. научных трудов / Под ред. А. А. Андронова, Ю. К. Пожелы. ИПФ АН СССР, 1983. 192 с.
- [6] Грибников З. С., Коцелап В. А. ЖЭТФ, 1970, т. 58, № 3, с. 1046–1056.
- [7] Рабинович Р. И. ФТП, 1969, т. 3, № 7, с. 996–1004.
- [8] Коренблит И. Я., Лазаренко Ю. П. ФТТ, 1970, т. 12, № 9, с. 2627–2633.
- [9] Toda T., Tosima S. J. Appl. Phys., 1972, vol. 43, N 4, p. 1750–1754.
- [10] Lee T. H., Coburn T., Gluck R. Sol. St. Commun., 1971, vol. 29, N 21, p. 1821–1824.

Горьковский государственный  
университет им. Н. И. Лобачевского  
ГИФТИ  
Горький

Поступило в Редакцию  
6 октября 1987 г.  
В окончательной редакции  
11 января 1988 г.